

## Cap. 9. Mecânica em referenciais não-inerciais

As leis de Newton só são válidas em referenciais inerciais. Há, no entanto, ocasiões em que seria desejável ter-se uma descrição do movimento em referencial não inercial:

- movimento de corpo que cai em vagas aceleradas
- o referencial ligado à Terra é, para muitas finalidades, um "bom" referencial inercial; para outras, não: foguete de longo alcance, e outras...

### 9.1 Acelerações sem notações

Considere referencial inercial  $S_0$  e outro  $S$  que acelera em relação a  $S_0$  com aceleração  $\vec{A}$  (não necessariamente constante) e velocidade  $\vec{V}$ ,  $\vec{A} = \ddot{\vec{V}}$ , e bola de massa  $m$  em movimento. Com relações a  $S_0$ ,  $m\ddot{\vec{r}}_0 = \vec{F}$ ,  $\vec{r}_0$  sendo a posição da bola relativa a  $S_0$  e  $\vec{F}$  a resultante das forças que agem sobre ela.

Seja  $\vec{r}$  a posição da bola relativa a  $S$ ; sua velocidade em  $S$  é  $\dot{\vec{r}} = \dot{\vec{r}}_0 - \vec{V}$  (transformação de Galileu), e

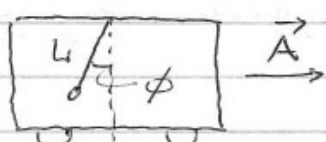
$$\ddot{\vec{r}} = \ddot{\vec{r}}_0 - \vec{A}$$

$\Rightarrow m\ddot{\vec{r}} = \vec{F} - m\vec{A}$ , que tem a mesma forma que a 2<sup>a</sup> lei em referencial inercial exceto pelo aparecimento do termo  $-m\vec{A}$  do lado direito.

Ele não é uma força no sentido Newtoniano (quem faz?) - vamos chamá-lo de força inercial ("fictícia"):

$\vec{F}_{\text{inercial}} = -m\vec{A}$ , que deve lhe soar familiar - seus "efeitos" são sentidos quando você está num carro que acelera para a decolagem, num ônibus que freia bruscamente, num carro que faz uma curva acentuada.

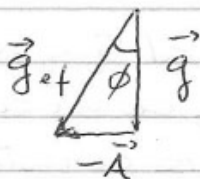
Exemplo: pêndulo num carro acelerado



Em S<sub>0</sub>:

$$\vec{F} = \vec{T} + m\vec{g}, \quad \vec{F} = m\vec{A}$$

Em S:



$$m\ddot{\vec{r}} = \vec{T} + m\vec{g} - m\vec{A}$$

$$= \vec{T} + m(\vec{g} - \vec{A})$$

Se o pêndulo está em equilíbrio relativo (em S),  $\ddot{\vec{r}} = 0$  e  $\vec{T} = -m\vec{g}_{\text{rel}}$

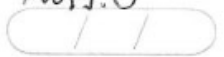
$$\phi_{\text{eq}} = \arctan\left(\frac{A}{g}\right)$$

$\Downarrow$  (princípio de equivalência e relativ. geral)

## 9.2 As marés

Uma aplicação interessante da ideia acima é a explicação do fenômeno das marés, que são o resultado da atração gravitacional diferencial da Lua e do Sol sobre as massas oceânicas (mas não só elas!), que provoca protuberâncias no nível dos oceanos. A ação da Lua é +

tilibra



importante neste caso, e vamos começar por ignorar a contribuição do Sol e supor que os oceanos cobrem toda a superfície do planeta.

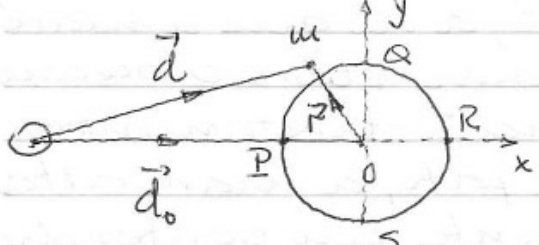
O fato de haverem 2 marés altas por dia descarta uma explicação aparentemente razoável do fenômeno, a de que a maré sobe pela atração lunar sobre o oceano apenas naquela porção diretamente "abaixo" da Lua. De fato, a maré alta ocorre simultaneamente em pontos diametralmente opostos da superfície terrestre. (figuras)

O efeito dominante da atração lunar é dar a todo o planeta, incluindo os oceanos, uma aceleração  $\vec{A}$  dirigida para a Lua - de fato, para o CM do sistema Terra-Lua - , uma aceleração centrípeta que é quase exatamente igual à produzida como se toda a massa de nosso planeta estivesse concentrada em seu centro. No entanto, objetos do lado voltado para a Lua sofrem uma atração um pouco maior do que se estivessem em seu centro, enquanto a sobre ~~de~~ objetos do lado oposto é um pouco menor. Portanto, vistos de um referencial fixo na Terra, os primeiros têm uma aceleração adicional enquanto os segundos atêm de menos, como se fossem ligeiramente repelidos pela Lua.

Vamos tornar quantitativo este raciocínio. As forças sobre um objeto de massa  $m$  próximo à superfície terrestre são:

(i) a atração gravitacional da Terra,  $m\vec{g}$

(ii) a da Lua,  $-GM_L m \frac{\vec{d}}{d^2}$



(iii) a resultante das demais forças não gravitacionais  $\vec{F}_{ng}$  (empuxo, por exemplo)

A aceleração do centro da Terra,  $\ddot{A}$ , é  $\ddot{A} = -GM_L \frac{\vec{d}_0}{d^2}$

Escrevendo a lei de Newton no referencial terrestre (acelerado) resulta

$$m\ddot{\vec{r}} = \vec{F} - m\ddot{\vec{A}} = -(m\vec{g} - GM_L m \frac{\vec{d}}{d^2} + \vec{F}_{ng}) + GM_L m \frac{\vec{d}_0}{d^2}$$

$$m\ddot{\vec{r}} = m\vec{g} + \vec{F}_{mane} + \vec{F}_{ng}, \text{ onde}$$

$$\vec{F}_{mane} = -GM_L m \left( \frac{\vec{d}}{d^2} - \frac{\vec{d}_0}{d_0^2} \right)$$

é a diferença entre a força de atração lunar na posição real de  $m$  e a que existiria se  $m$  estivesse no centro da Terra  $O$ .

Todo o efeito da Lua no movimento (relativo à Terra) de qualquer objeto próximo à Terra está contido em  $\vec{F}_{mane}$ . Numa posição de frente para a Lua, como  $P$ ,

os vetores  $\vec{d}_1$  e  $\vec{d}_2$  têm a mesma direção (e sentido), mas  $d_1 > d_2$  - portanto o 1º termo de  $\vec{F}_{\text{maré}}$  domina e  $\vec{F}_{\text{maré}}$  aponta para a Lua. Em R, outra vez  $\vec{d}_1$  e  $\vec{d}_2$  têm a mesma direção, mas agora  $d_1 < d_2$  e  $\vec{F}_{\text{maré}}$  aponta para longe da Lua. No ponto Q,  $\vec{d}_1$  e  $\vec{d}_2$  têm direções diferentes, as componentes x dos 2 termos de  $\vec{F}_{\text{maré}}$  praticamente se cancelam, mas só o primeiro tem componente y - portanto, em Q (e S),  $\vec{F}_{\text{maré}}$  aponta para o centro da Terra (O). Pondo isso tudo junto, resulta a distorção da superfície livre dos oceanos ilustrada abaixo (com enorme exagero!).

Lua



### Altura das marés

A maneira + simples de encontrar a diferença de alturas entre as marés alta e baixa é observar que a superfície do oceano é uma equipotencial. Para demonstrar isto, considere uma gota de água na superfície do oceano. Ela está em equilíbrio (em relações ao referencial terrestre) sob a ação de 3 forças: a atração gravitacional terrestre  $m\vec{g}$ , a força de maré  $\vec{F}_{\text{maré}}$  e a força (derivada de pressão)  $\vec{F}_p$  da água do oceano que a

circunda (é o empuxo). Como a gota está em equilíbrio,  $m\vec{g} + \vec{F}_{\text{maré}}$  é perpendicular à superfície, já que  $\vec{F}_P$  o é. Como ambas são conservativas,

$$m\vec{g} = -\nabla U_{gt} \quad \text{e} \quad \vec{F}_{\text{maré}} = -\nabla U_{\text{maré}}$$

com  $U_{\text{maré}} = -GM_L m \left( \frac{1}{d} + \frac{x}{d_0^2} \right)$

Como  $m\vec{g} + \vec{F}_{\text{maré}}$  é perpendicular à superfície do oceano,  $\nabla(U_{gt} + U_{\text{maré}})$  também é, e  $U = U_{gt} + U_{\text{maré}}$  é constante ao longo da superfície. ( $cqd$ )

Por isso,

$$U(P) = U(Q)$$

$$\Rightarrow \underbrace{U_{gt}(P) - U_{gt}(Q)}_{u_{\text{gh}}} = \underbrace{U_{\text{maré}}(Q) - U_{\text{maré}}(P)}_{U_{\text{maré}}(R)}$$

$u_{\text{gh}}$  ( $h$  é a diferença de alturas procurada)

No ponto Q,  $d = \sqrt{d_0^2 + r^2}$  ( $r \approx R_T$ ) e  $x=0$

$$\Rightarrow U_{\text{maré}}(Q) = -GM_L m \frac{1}{\sqrt{d_0^2 + r^2}} =$$

$$= -\frac{GM_L m}{d_0} \left( 1 + \left[ \frac{r}{d_0} \right]^2 \right)^{\frac{1}{2}} \approx -\frac{GM_L m}{d_0} \left( 1 - \frac{R_T^2}{2d_0^2} \right)$$

Em P,  $d = d_0 - R_T$  e  $x = -R_T$

$$\Rightarrow U_{\text{maré}}(P) = -\frac{GM_L m}{d_0} \left( 1 + \frac{R_T^2}{d_0^2} \right) (= U_{\text{maré}}(R))$$

$$\Rightarrow u_{\text{gh}} = \frac{GM_L m}{d_0} \cdot \frac{3R_T^2}{2d_0^2};$$

$$\text{como } g = \frac{GM_T}{R_T^2}, \quad h = \frac{3}{2} \frac{M_L}{M_T} \frac{R_T^{24}}{d_0^3}.$$

$$R_T = 6,37 \times 10^6 \text{ m}, \quad M_L = 7,35 \times 10^{22} \text{ kg}, \quad M_T = 5,98 \times 10^{24} \text{ kg},$$

$d_0 = 3,84 \times 10^8 \text{ m}$

Resulta  $h = 54 \text{ cm}$  (devido somente à Lua).

A maré causada pelo Sol sozinho é também calculada por expressão similar (com  $M_S = 1,99 \times 10^{30} \text{ kg}$  no lugar de  $M_L$  e  $d_0 = 1,495 \times 10^{11} \text{ m}$ ), resultando em  $h = 25 \text{ cm}$  (Sol sozinho) - menor que o efeito lunar, mas não desprezível, e os 2 efeitos se combinam de maneira interessante:

- quando Terra, Sol e Lua estão aproximadamente alinhados (Lua cheia ou nova), as forças de maré se somam e podemos prever marés muito altas, com  $h = 54 + 25 = 79 \text{ cm}$ .
- quando os 3 formam triângulo retângulo, os 2 efeitos se subtraem, e  $h = 54 - 25 = 29 \text{ cm}$ .

A teoria que apresentamos está basicamente correta, especialmente para locais no meio dos oceanos, mas as situações reais envolvem outras complicações intrigantes. Talvez a + importante delas seja o efeito das massas continentais, que podem afetar nossas conclusões (obtidas na hipótese dos oceanos cobrirem todo o planeta) resultando em marés ora menores, ora maiores, do que previmos. Marés internacionais, como o Mar Negro e o Mediterrâneo, têm marés menores, enquanto marés

II

que se movem em oceanos grandes podem ser bloqueadas pelos continentes que os margeiam e alcançar alturas bem maiores.

- 01/06/09 -

### 9.3 O vetor velocidade angular

No resto deste capítulo vamos discutir o movimento de objetos como vistos em referencias que giram (em relações a algum referencial inercial). Antes disso, e como preparação, vamos discutir alguns conceitos e fixar notações para manusear notações adequadamente.

Um estudo detalhado das rotacões é surpreendentemente complexo, mas aqui não vamos precisar de muitos destes detalhes, e algumas propriedades difíceis de demonstrar (rigorosamente) são razoavelmente plausíveis e podem ser aceitas e enunciadas sem demonstrações.

Os eixos girantes que consideraremos serão quase sempre fixos em relação a um corpo rígido. O exemplo + importante é um conjunto de eixos fixos em relação à Terra em rotacão, mas veremos outros exemplos no capítulo 10. Quando discutirmos a notação de um corpo rígido, só existem 2 situações diferentes que devemos considerar:

- algumas vezes o corpo gira em

torno de um ponto seu que é fixo (em algum referencial inercial); por exemplo, uma roda que gira em torno de um eixo fixo, ou um péndulo que gira em torno de seu ponto de suspensão.

- se o corpo girante não tem nenhum ponto fixo (uma bola que gira enquanto viaja em direção ao gol), usualmente procederemos em 2 passos:

(i) determinaremos o movimento do CM;

(ii) analisaremos o movimento rotacional do corpo em relações ao CM.

Assim que fixarmos a atuação no 2º passo, estaremos de fato examinando o movimento num referencial no qual o CM está fixo, retornando então à 1ª situação.

O resultado + importante relativo a um corpo que gira em torno de um ponto fixo é o teorema de Euler: o movimento + geral possível de um corpo em relações a 1 ponto fixo O é uma rotação em torno de algum eixo (que pode mudar com o tempo) que passa por O.

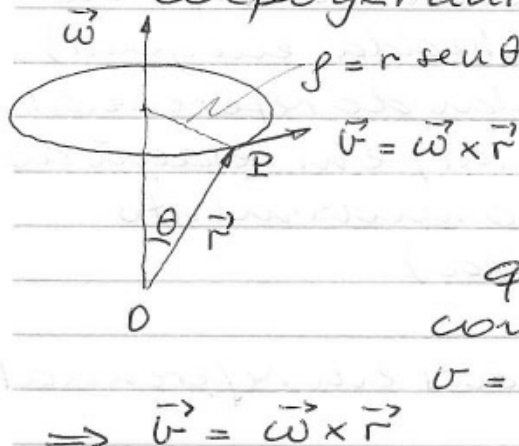
Apesar de ter uma demonstração complicada, este teorema deve parecer muito natural - vamos aceitá-lo, adiando a demonstração para a disciplina seguinte.

O teorema implica que, para especificar uma rotação em torno de um ponto dado  $O$ , basta dar a direção do eixo em torno do qual ela se deu e o ângulo de que o corpo girou. Na verdade, focalizaremos sobretudo a taxa de rotação, ou velocidade angular, e o teorema de Euler implica que ela pode ser especificada pela direção do eixo de rotações ( $\hat{u}$ ) e a taxa de rotação em torno deste eixo. ( $\omega = \frac{d\theta}{dt}$ ). Por exemplo, um carrossel pode estar girando em torno de um eixo vertical ( $\hat{u}$  é vertical) a uma taxa de 10 rad/min ( $\omega = 10 \text{ rad/min}$ ).

É muitas vezes conveniente combinar estes 2 elementos para formar o vetor velocidade angular  $\vec{\omega} = \omega \hat{u}$ , e o vetor  $\vec{\omega}$  especifica ao mesmo tempo a direção do eixo de rotação ( $\hat{u} = \frac{\vec{\omega}}{\omega}$ ) e a taxa de rotação ( $\omega = |\vec{\omega}|$ ). Para retirar a ambiguidade na especificação do sentido de  $\vec{\omega}$  usamos a regra da mão direita.

É importante reconhecer que  $\vec{\omega}$  pode variar com o tempo, em módulo e/ou direção (exemplo: a espaçonave descontrolada do filme Apolo XIII) -  $\vec{\omega} = \vec{\omega}(t)$ . Há, por outro lado, situações interessantes nas quais  $\vec{\omega}$  é constante - isto é verdade, com grande precisão, para o movimento de rotação da Terra em torno de seu eixo.

- Taxa de variações de vetor fixo em um corpo girante



$$r = r \sin \theta$$

$$\vec{v} = \vec{\omega} \times \vec{r}$$

Seja  $P$  ponto fixo no corpo girante  
 $\Rightarrow$  seu movimento é circular (ainda que instantaneamente), com raio  $r = r \sin \theta$  e  $v = \omega r = \omega r \sin \theta$

$$\Rightarrow \vec{v} = \vec{\omega} \times \vec{r}$$

Este resultado é + geral: se  $\vec{e}$  é um vetor fixo no corpo girante,

$$\frac{d\vec{e}}{dt} = \vec{\omega} \times \vec{e}$$

- Soma de velocidades angulares

Sejam

$\vec{v}_{21}$ : velocidade do referencial 2

em relações ao " 1;

$\vec{v}_{32}$ : velocidade do corpo 3

em relações ao referencial 2;

$\vec{v}_{31}$ : " , referencial 1 :

Então,

$$\vec{v}_{31} = \vec{v}_{32} + \vec{v}_{21} \quad (\text{transformações de Galileu})$$

Sejam  $\vec{\omega}_{31}$ ,  $\vec{\omega}_{32}$  e  $\vec{\omega}_{21}$  definidas de forma similar; então, qualquer que seja  $\vec{r}$  (ponto  $P$ ),

$$\vec{\omega}_{31} \times \vec{r} = \vec{\omega}_{32} \times \vec{r} + \vec{\omega}_{21} \times \vec{r} = (\vec{\omega}_{32} + \vec{\omega}_{21}) \times \vec{r}$$

$$\vec{\omega}_{31} = \vec{\omega}_{32} + \vec{\omega}_{21}$$

## Notações:

$\tilde{\omega}$ : velocidade angular do corpo de interesse (desconhecida, em geral)

$\vec{\omega}$ : velocidade angular do referencial girante (não inercial) em relações ao qual observamos o movimento.  
(em geral conhecida)

## 9.1 Derivadas temporais em referencial girante

Seja  $S$  referencial que gira com  $\vec{\omega}$  em relações a  $S_0$ , inercial ( $\vec{\omega} \approx \frac{2\pi}{24 \times 3600} \approx 7,3 \times 10^{-5}$  rad/s), ambos com origem comum no ponto 0.

⇒ o único movimento de  $S$  em relações a  $S_0$  é rotação com  $\vec{\omega}$ . (Exemplo:  $S$  é referencial fixo em relações à Terra -  $S$  é conveniente mas não inercial,  $S_0$  é inconveniente mas inercial)

Seja  $\vec{Q}'$  um vetor arbitrário (posição ou velocidade da bola, força resultante sobre um objeto). Vamos relacionar a taxa de variação de  $\vec{Q}'$  medida em  $S_0$  com a medida em  $S$ .

$\vec{Q}' = \sum_i Q'_i \hat{e}_i$ ,  $\hat{e}_i$  unitários ortogonais fixos em  $S$ . Observador em  $S_0$  vê os  $\hat{e}_i$  girando. Em  $S$ ,

$$\left( \frac{d\vec{Q}'}{dt} \right)_S = \sum_i \frac{dQ'_i}{dt} \hat{e}_i$$

Como os  $Q'_i$  não são os mesmos em  $S$  e  $S_0$ , mas queremos notação especial para  $\frac{dQ'_i}{dt}$

Em  $S_0$ ,

$$\left( \frac{d\vec{Q}}{dt} \right)_{S_0} = \sum_i \frac{dQ_i}{dt} \hat{e}_i + \sum_i Q_i \left( \frac{d\hat{e}_i}{dt} \right)_{S_0}$$

Mas  $\left( \frac{d\hat{e}_i}{dt} \right)_{S_0} = \vec{\omega} \times \hat{e}_i$

$$\Rightarrow \sum_i Q_i \left( \frac{d\hat{e}_i}{dt} \right)_{S_0} = \sum_i Q_i (\vec{\omega} \times \hat{e}_i) = \vec{\omega} \times \vec{Q}$$

Finalmente,

$$\left( \frac{d\vec{Q}}{dt} \right)_{S_0} = \left( \frac{d\vec{Q}}{dt} \right)_S + \vec{\omega} \times \vec{Q}$$

## 9.5 Segunda lei de Newton no referencial girante

Vamos supor aqui que  $\vec{\omega}$  seja constante (se  $\vec{\omega}$  é constante em 1 referencial, é constante no outro, já que  $\vec{\omega} \times \vec{\omega} = 0$ )

Considere partícula de massa  $m$  e posição  $\vec{r}$ . Em  $S_0$ ,

$$m \left( \frac{d^2 \vec{r}}{dt^2} \right)_{S_0} = \vec{F} \quad (\text{resultante})$$

Mas  $\left( \frac{d\vec{r}}{dt} \right)_{S_0} = \left( \frac{d\vec{r}}{dt} \right)_S + \vec{\omega} \times \vec{r}$  ;

$$\left( \frac{d^2 \vec{r}}{dt^2} \right)_{S_0} = \left( \frac{d}{dt} \right)_{S_0} \left( \frac{d\vec{r}}{dt} \right)_{S_0} = \left( \frac{d}{dt} \right)_{S_0} \left[ \left( \frac{d\vec{r}}{dt} \right)_S + \vec{\omega} \times \vec{r} \right]$$

$$\Rightarrow \left( \frac{d^2 \vec{r}}{dt^2} \right)_{S_0} = \left( \frac{d}{dt} \right)_S \left[ \left( \frac{d\vec{r}}{dt} \right)_S + \vec{\omega} \times \vec{r} \right] + \vec{\omega} \times \left[ \left( \frac{d\vec{r}}{dt} \right)_S + \vec{\omega} \times \vec{r} \right]$$

Para ter resultado + limpo, uso a notação  $\ddot{\vec{r}} = \left( \frac{d\vec{r}}{dt} \right)_S$ ; lembre  $\vec{\omega} = \text{constante}$

$$\Rightarrow \left( \frac{d^2 \vec{r}}{dt^2} \right)_{S_0} = \ddot{\vec{r}} + 2 \vec{\omega} \times \dot{\vec{r}} + \vec{\omega} \times (\vec{\omega} \times \vec{r})$$

e a 2<sup>a</sup> lei vista em S se escreve

$$m\ddot{\vec{r}} = \vec{F} + \underbrace{2m\dot{\vec{r}} \times \vec{\omega}}_{\text{força de Coriolis}} + m(\vec{\omega} \times \vec{r}) \times \vec{\omega}$$

ou  $m\ddot{\vec{r}} = \vec{F} + \vec{F}_{\text{cor}} + \vec{F}_{\text{cf}}$

- 03/06/09-

## 9.6 A força centrífuga

Vamos examinar, até onde possível, estas 2 forças inerciais separadamente. Em particular, a força de Coriolis é proporcional à velocidade do objeto  $\dot{\vec{r}} = \vec{v}$  relativa ao referencial girante - ela é, portanto, nula para um objeto em repouso neste referencial e desprezível para objetos que se movem lentamente.

Vamos focalizar prioritariamente no resto do capítulo o referencial girante solidário à Terra, no qual podemos facilmente estimar a importância relativa destas 2 forças inerciais.

Elas dependem da direções de vários vetores - são obtidas por produtos vetoriais mas para uma estimativa de ordem de grandezza podemos tomar

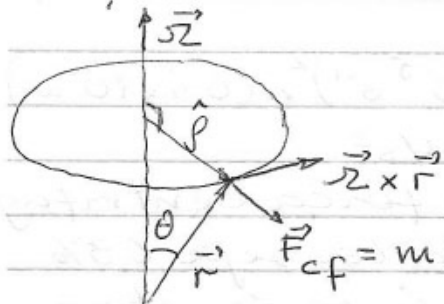
$F_{\text{cor}} \sim m v \vec{\omega}$  e  $F_{\text{cf}} \sim m r \vec{\omega}^2$ ,  
onde  $v$  é a velocidade observada no referencial da Terra (girante); portanto,

$$\frac{F_{\text{cor}}}{F_{\text{cf}}} \sim \frac{v}{r \omega} = \frac{v}{V}$$

$\frac{F_{\text{cor}}}{F_{\text{cf}}} \sim \frac{v}{r \omega} = \frac{v}{V} \rightarrow$  velocidade, no referencial inercial, de ponto no equador terrestre ( $\approx 1600 \text{ km/h}$ ), que mostra

tilibra

que, para projetos com  $v \ll 1600 \text{ km/h}$  um bom ponto de partida é ignorar a força de Coriolis, o que faremos nesta seção.



Na colatitude  $\theta$ :

$\vec{\Omega} \times \vec{r}$ : velocidade

vista no ref. inercial  
é tangente ao  
círculo,

$$|\vec{F}_{cf}| = \frac{m}{r^2} \vec{r} \times (\vec{\Omega} \times \vec{r}) = \frac{m}{r^2} \vec{r} \times \vec{\Omega} = \frac{m}{r^2} \vec{r} \times \vec{r} \times \vec{\Omega} = \frac{m}{r^2} \vec{r} \times \vec{\Omega} = \frac{m}{r^2} r \sin \theta \vec{\Omega}$$

$$\text{e } \vec{F}_{cf} \parallel \hat{\vec{p}}$$

$$\text{ou } \vec{F}_{cf} = m r^2 \vec{p} \hat{\vec{p}}$$

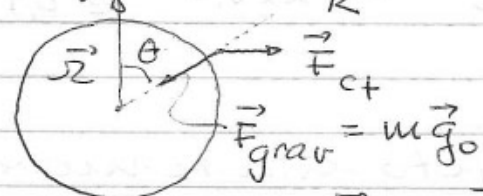
Se  $\vec{v} = \vec{\Omega} \times \vec{r}$  é a velocidade vista no ref. inercial,  $\vec{F}_{cf} = \frac{m v^2}{r} \vec{p}$

- Aceleração de queda livre quando  $\frac{v=0}{F_{cor}=0} \Rightarrow$

É a aceleração inicial  $\vec{g}$ , relativa à Terra, de objeto abandonado do repouso (no vácuo) próximo à superfície da Terra. A eq. de movimento no referencial da Terra é:

$$m \ddot{\vec{r}} = \vec{F}_{grav} + \vec{F}_{cf}, \text{ com}$$

$$\vec{F}_{grav} = -\frac{GMm}{R^2} \vec{r} = m \vec{g}_0 \text{ e } \vec{F}_{cf} = m r^2 \vec{p} \hat{\vec{p}}$$



a "verdadeira" aceleração da gravidade

$$\Rightarrow \vec{F}_{ef} = \vec{F}_{grav} + \vec{F}_{cf} = m \vec{g} = m \vec{g}_0 + m r^2 \vec{p} \hat{\vec{p}}$$

$$\Rightarrow \vec{g} = \vec{g}_0 + r^2 R \sin \theta \hat{\vec{p}}$$

A componente radial de  $\vec{g}$  é

$$g_{\text{rad}} = g_0 - \Omega^2 R \sin^2 \theta \quad (\text{na direção de } -\hat{r})$$

No equador (colatitude  $\pi/2$ ) o termo centrífugo é máximo:

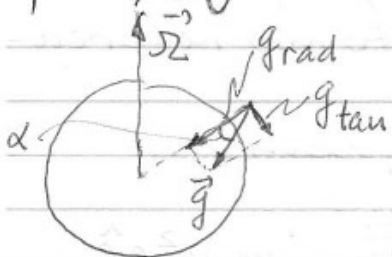
$$\begin{aligned} \Omega^2 R &= (7,3 \times 10^{-5} \text{ s}^{-1})^2 \times (6,4 \times 10^6 \text{ m}) \\ &\approx 0,034 \text{ m/s}^2 \end{aligned}$$

Como  $g_0 \approx 9,8 \text{ m/s}^2$ , a força centrifuga faz com que  $g$  no equador seja 0,3% menor que nos polos (gravímetros modernos têm precisão de 1 em  $10^9$ )

A componente tangencial de  $\vec{g}$  é um efeito puramente centrífugo:

$$g_{\text{tang}} = \Omega^2 R \sin \theta \cos \theta$$

(zero nos polos e no equador, máximo em  $\theta = \pi/4$ ), e faz com que a aceleração de queda livre não tenha exatamente a direção da força gravitacional:



$$\tan \alpha \approx \alpha \approx \frac{g_{\text{tang}}}{g_0},$$

com valor máximo

em  $\theta = \pi/4$  iguala

$$\alpha_{\text{max}} = \frac{\Omega^2 R / 2}{g_0} \approx \frac{0,034}{2 \times 9,8} \approx 1,7 \times 10^{-3} \text{ rad}$$

$$\approx 0,1^\circ$$

## 9.7 A força de Coriolis

Quando um objeto está se movendo no referencial girante, aparece uma segunda força inercial

$$\vec{F}_{\text{cor}} = 2m \vec{v} \times \vec{\Omega} = 2m \vec{v} \times \vec{\Omega}$$

tilibra

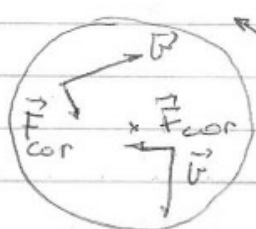
onde  $\vec{v}'$  é relativa ao referencial girante. Observe o paralelo entre esta força e a força magnética sobre carga em movimento ( $q\vec{v}' \times \vec{B}$ ), que não tem grande significado mas pode ajudar a visualizar como a força de Coriolis afeta o movimento.

O módulo de  $\vec{F}_{\text{cor}}$  depende dos módulos e direções de  $\vec{\omega}$  e  $\vec{v}'$ . Para o referencial solidário à Terra e objeto com  $v \approx 50 \text{ m/s}$ , a aceleração máxima que ela pode produzir (quando  $\vec{\omega} \perp \vec{v}'$ ) é  $a_{\max} = 2v\omega \approx 2 \times (50 \text{ m/s}) \times (7,3 \times 10^5 \text{ s}^{-1}) \approx 7 \times 10^{-3} \text{ m/s}^2$ ,

que é muito pequena quando comparada a  $g_0 = 9,8 \text{ m/s}^2$ . Foguetes e missões de longo alcance têm velocidades bem maiores que 50 m/s, e para eles o efeito da força de Coriolis é + importante. Além disso vemos que há sistemas, como o pêndulo de Foucault, nos quais a força de Coriolis, apesar de muito pequena, pode agir por um longo tempo e, por isso, produzir efeitos grandes.

### - Direções da força de Coriolis

$\vec{F}_{\text{cor}}$  é sempre perpendicular a  $\vec{v}'$



No exemplo do diagrama,  $\vec{F}_{\text{cor}}$  sempre quer desviar  $\vec{v}'$  para sua direita (hemisfério norte).

(11) fémio norte visto do polo norte). No hemisfério sul - visto do polo sul - tenderia a defletir para a esquerda.

Este efeito é importante para a artilharia de longo alcance, que deve sempre mirar à esquerda de seu alvo no hemisfério norte.

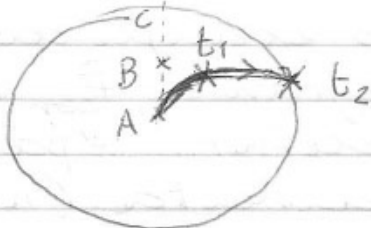
Um exemplo importante deste efeito na meteorologia é o fenômeno dos ciclones, que ocorrem quando o ar ao redor de uma região de ~~alta~~<sup>baixa</sup> pressão se move rapidamente para dentro dela:

baixa  
pressão

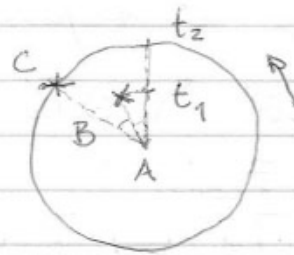
no hemisfério norte, o ar circula no sentido trigonométrico.

É importante relembrar que as forças centrífuga e de Coriolis são, no fundo, efeitos cinemáticos que aparecem quando insistimos em usar um referencial (não inercial) girante.

Exemplo: movimento simples sobre o prato de um toca-disco (problema da lista 1!)



(a) ref. girante



(b) ref. inercial

A força resultante (como vista no ref. inercial) é nula. No ref. girante, as 2 únicas forças são a centrífuga e a de Coriolis. A primeira é sempre radial para fora e não interfere na deflexão. A segunda deflecta a velocidade para a direita, e faz o objeto seguir a trajetória curva vista em (a). No instante  $t_1$ , quando alcança o raio de B, está a uma pequena distância à direita de B, e no instante  $t_2$ , quando chega à borda do prato, está ainda mais para a direita de C (4 vezes mais, se  $t_2 = 2t_1$ )

No ref. inercial, a força resultante é nula e o objeto segue trajetória reta. No instante  $t_1$ , quando alcançava B, este girou para a esquerda e o mesmo para C. Visto do objeto em movimento, B e C se moveram para a esquerda. Portanto, visto de B e C, o objeto teve sua trajetória encerrada para a direita.

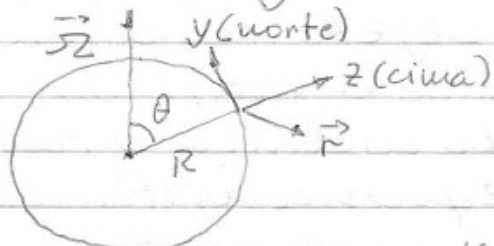
### 9.8 Queda livre e a força de Coriolis

Considere objeto caindo no vácuo próximo a um ponto  $\vec{R}$  da superfície terrestre. A eq. de movimento é

$$\begin{aligned} m\ddot{\vec{r}} &= m\vec{g} + \vec{F}_c + \vec{F}_{cor} \\ \vec{F}_c &= m(\vec{v}_0 \times \vec{R}) \times \vec{R} \quad \text{mas } \vec{F}_c \approx \vec{R} \\ \Rightarrow \vec{F}_c &\approx m(\vec{v}_0 \times \vec{R}) \times \vec{R} \end{aligned}$$

$$m\vec{g}_0 + \vec{F}_{cf} = m\vec{g} \quad (\vec{g} \text{ é o observado em } R)$$

$\Rightarrow \vec{F} = \vec{g} + 2\dot{\vec{r}} \times \vec{R}$ , equação que não envolve  $\vec{R}$ , apenas suas derivadas e não é, portanto, alterada por uma mudança de origem. Vamos pô-la na posição  $R$ ,



escolher os eixos como indicado na figura, e decompor a eq. de movimento nas componentes.

$$\vec{r} = (x, y, z)$$

$$\vec{R} = (0, R \sin \theta, R \cos \theta)$$

$$\Rightarrow \dot{\vec{r}} \times \vec{R} = (yR \cos \theta - zR \sin \theta, -xR \cos \theta, xR \sin \theta)$$

$$\downarrow$$

$$\ddot{x} = 2R(y \cos \theta - z \sin \theta)$$

$$\ddot{y} = -2R \dot{x} \cos \theta$$

$$\ddot{z} = -g + 2R \dot{x} \sin \theta$$

Vamos resolver estas 3 equações recorrendo a uma sequência de aproximações relacionadas com o pequeno módulo de  $R$ .

Em ordem zero, ignorando  $R$ :

$$\ddot{x} = 0, \ddot{y} = 0, \ddot{z} = -g$$

que são as equações do movimento de queda livre resolvidas na física básica. Se o objeto cai a partir do repouso do ponto  $x=y=0$  e  $z=h$ ,  $x(t)=y(t)=0$  e  $\dot{z}=-gt \Rightarrow z(t) = h - \frac{1}{2}gt^2$ , que é nossa solução nesta aproximação muito boa em geral, por sinal!

A próxima aproximação - em ordem 1 - consiste em usar o resultado na ordem anterior do lado <sup>direito</sup> das eq. de movimento completas:

$$\dot{x} = 2\pi g t \operatorname{sen}\theta$$

$$\ddot{y} = 0$$

$$\ddot{z} = -g$$

As 2 últimas são as mesmas que em ordem zero; a 1<sup>a</sup> é nova, com soluções

$$x(t) = \frac{1}{3} \pi g t^3 \operatorname{sen}\theta,$$

e vamos parar

nesta ordem de aproximação.

O curioso fato que resulta da solução é que um objeto em queda livre não cai na vertical! Ao invés disso, a força de Coriolis provoca na trajetória uma (leve) curvatura para leste ( $x$  positivo). Para ter uma ideia do tamanho deste efeito, considere um objeto que caia num poço de 100 m de profundidade no Equador. O tempo de queda é

$$t = \sqrt{\frac{2h}{g}}, \text{ e a deflexão sofrida}$$

$$x = \frac{1}{3} \pi g \left(\frac{2h}{g}\right)^{3/2} \operatorname{sen}\left(\frac{\pi}{2}\right) \approx 2,2 \text{ cm},$$

pequena, mas observável. Quem primeiro previu este efeito foi Newton (que surpreende, mas é ??!) e ele foi verificado por seu rival científico Robert Hooke (1635-1703), mas a explicação correta teve que esperar compreendermos a força - e o efeito - de Coriolis.

Poderemos explicar o efeito olhando-o de um referencial inercial, no qual o objeto começa sua queda com uma velocidade tangencial para o leste, que é maior que a de um ponto da superfície onde vai cair - a distância ao eixo de rotação é maior. Quantitativamente:

- esta velocidade inicial é  $(R+h)\omega$  e a diferença instantânea entre esta velocidade ~~do ponto~~ do referencial girante - por onde passa o objeto ~~do ponto~~ ~~relativo~~ é a velocidade do ponto de queda é

$$\Delta v = \omega R \sin\theta$$

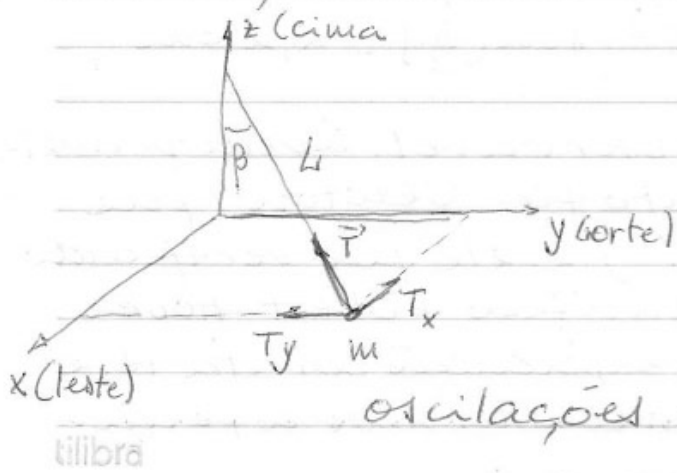
$$\Rightarrow \Delta x = \int^t z \omega \sin\theta dt' =$$

$$= \omega \sin\theta \int_0^t \left( h - \frac{1}{2} g t'^2 \right) dt' =$$

$$= \omega \sin\theta \left[ ht - \frac{1}{3} g t^2 \cdot \frac{t}{3} \right] = \omega \sin\theta \cdot \frac{1}{2} g t^2 \cdot \frac{2t}{3}$$

$$= \cancel{\frac{g t^3}{3}} \cdot \omega \sin\theta.$$

### 9.9. O pêndulo de Foucault (1819-1868)



No mesmo referencial (girante) que usamos no problema anterior, consideremos pequenas oscilações ( $\theta \ll 1$ ):

A eq. de movimento,

$$m\ddot{\vec{r}} = \vec{T} + m\vec{g} + m(\vec{\omega} \times \vec{r}) \times \vec{\omega} + 2m\dot{\vec{r}} \times \vec{\omega}$$

$$m\ddot{\vec{r}} = \vec{T} + m\vec{g} + 2m\dot{\vec{r}} \times \vec{\omega} \quad (\vec{g} \parallel -\hat{z})$$

$$\beta \ll 1 \Rightarrow T_2 = T \cos \theta \approx T, \text{ e}$$

$$T_2 \approx mg \quad (\dot{\vec{r}} \text{ e } \dot{\vec{\omega}} \text{ pequenos})$$

$$\Rightarrow T = mg$$

As componentes

$$\frac{\dot{x}}{T} = -\frac{x}{L}, \quad \frac{\dot{y}}{T} = -\frac{y}{L} \quad (\text{semelhança de triângulos})$$

$$\Rightarrow \ddot{x} = -\frac{gx}{L} + 2\dot{y}\omega L \cos \theta$$

$$\ddot{y} = -\frac{gy}{L} - 2\dot{x}\omega L \cos \theta, \quad \text{ou,}$$

$$\text{com } \omega_0^2 = \frac{g}{L} \text{ e } \omega L \cos \theta = \omega_z, \quad$$

$$\ddot{x} - 2\omega_z \dot{y} + \omega_0^2 x = 0 \quad (i)$$

$$\ddot{y} + 2\omega_z \dot{x} + \omega_0^2 y = 0, \quad (ii)$$

sistema que nos dá outra oportunidade de usar o truque com números complexos:

$\eta = x + iy$ , e a representação de  $\eta$  no plano complexo nos dá uma imediata visualização (na projeção) do movimento do pêndulo sobre o plano  $xy$ .

$$(i) + i(ii) \Rightarrow$$

$$\ddot{\eta} + 2i\omega_z \dot{\eta} + \omega_0^2 \eta = 0,$$

eq. diferencial de 2ª ordem, linear e homogênea  $\Rightarrow$  2 soluções linearmente

independentes, que procuramos com a forma  ~~$\eta = e^{i\omega_0 t}$~~   $e^{-i\omega_0 t}$ :

$$\alpha^2 - 2R_2\alpha - \omega_0^2 = 0, \text{ e} \\ \alpha = R_2 \pm \sqrt{R_2^2 + \omega_0^2} \approx R_2 \pm \omega_0,$$

e a solução geral é

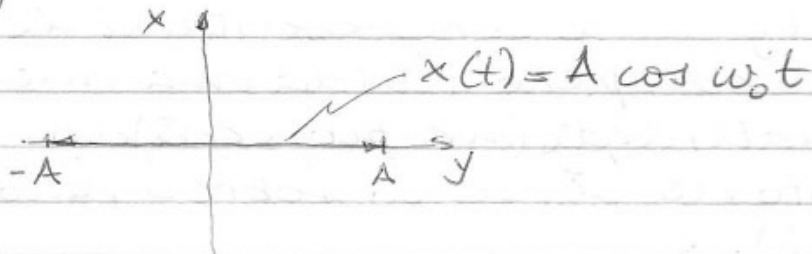
$$\eta = e^{-iR_2 t} (C_1 e^{i\omega_0 t} + C_2 e^{-i\omega_0 t})$$

Vamos especificar condições iniciais para determinar  $C_1$  e  $C_2$ : suponha que  $x(0) = A$ ,  $y(0) = 0$ , e  $v_x(0) = v_y(0) = 0$

$$C_1 = C_2 = \frac{A}{2}, \text{ e}$$

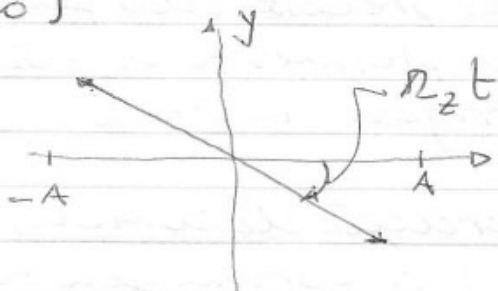
$$\eta(t) = x(t) + iy(t) = A e^{-iR_2 t} \cos \omega_0 t$$

Como  $R_2 \ll \omega_0$ , o termo em cosseno faz muitas oscilações antes que a exponencial mude muito. Portanto, no início  $x(t)$  oscila com frequência  $\omega_0$  entre  $A$  e  $-A$ , enquanto  $y = 0$  - o pendulo executa MHS na direção  $x$ .



Depois de algum tempo,  $e^{-iR_2 t}$  se torna significativamente diferente de zero  $\rightarrow \eta$  gira do ângulo  $-R_2 t$ .

No hemisfério norte (sul)  $\Omega_z > 0$  ( $\Omega_z < 0$ )  $\Rightarrow x + iy$  continua a oscilar graças ao termo  $\cos \omega_0 t$ , mas numa direção que se move no sentido dos ponteiros do relógio (trigonométrico)



Isto é, o plano da oscilações do pêndulo gira (lentamente) com velocidade angular  $\Omega_z = \Omega \cos \theta$ . No polo norte  $\theta = 0$  e  $\Omega_z = \Omega$  é a velocidade angular do planeta - fácil de entender, se olhamos a partir de um referencial inercial. Em outras latitudes, o resultado não é tão simples de entender - mas tentaremos daqui a povo. No equador,  $\Omega_z = 0$  e o pêndulo não gira. Na latitude  $40^\circ$ ,  $\Omega_z = \Omega \cos 50^\circ \approx \frac{2}{3} \Omega \approx \frac{240^\circ}{dia}$ , e, em 6 horas, o plano do dia pêndulo terá girado de  $60^\circ$ , um efeito facilmente observável.

Outra forma de obter este resultado: a componente horizontal da força de Coriolis (no plano xy) tem módulo  $|F_{cor}^{hor}| = |2m \vec{v} \times (\Omega \cos \theta \hat{x} + \Omega \sin \theta \hat{y})|$

$$\begin{aligned} |F_{cor}^{hor}| &= |2m \vec{v} \times (\Omega \cos \theta \hat{x} + \Omega \sin \theta \hat{y})| \\ &\approx 2m \Omega \cos \theta v, \end{aligned}$$

já que a componente  $\hat{y}$  não pode produzir força na direção  $\hat{z}$ , e  $\hat{v} \perp \vec{F}_{\text{cor}}^{\text{hot}}$ . Portanto, para o pêndulo, é como se ele estivesse no polo norte de um planeta fictício que gira com velocidade angular  $\Omega \cos \theta$   
 $\Rightarrow$  a frequência de precessão do pêndulo de Foucault é simplesmente  $w_p = \Omega \cos \theta$ , no sentido anti-trigonométrico.

### 9.10 - Força e acelerações de Coriolis

Vimos no cap. 1 a forma que toma a 2ª lei em coordenadas polares bidimensionais:

$$\vec{F} = m \ddot{\vec{r}} \Leftrightarrow \begin{cases} F_r = m (\ddot{r} - r \dot{\phi}^2) \\ F_\phi = m (r \ddot{\phi} + 2 \dot{r} \dot{\phi}) \end{cases}$$

Podemos agora compreender melhor os termos adicionais da aceleração em termos das forças inerciais centrífuga e de Coriolis.

Considere partícula sujeita à força resultante  $\vec{F}$  e obrigada a se mover em 2D. Com relações a um referencial inercial  $S$  com origem em  $O$ , a partícula deve satisfazer às equações acima.  
 Considere agora referencial não inercial  $S'$  com a mesma origem e que gira com velocidade angular constante  $\Omega$ , escolhida de forma que  $\Omega = \dot{\phi}$  num certo instante  $t_0$ . - isto é, neste instante  $t_0$ ,  $S'$  e a partícula têm a mesma velocidade angular ( $S'$  é chamado de referencial cônico-móvel)

As coordenadas da partícula em  $S'$  são  $(r', \phi')$ , e  $r' = r$  ( $S'$  e  $S$  têm a mesma origem), enquanto, em  $t = t_0$ ,  $\dot{\phi}' = 0$ . Vamos aplicar a 2<sup>a</sup> lei em  $S'$  - para isto precisaremos incluir as forças inerciais.

$$\vec{F}_{cf} + \vec{F}_{cor} = m\ddot{\vec{r}}'$$

Em coordenadas polares:

- $\vec{F}_{cf}$  é puramente radial, com componente  $r\ddot{r}^2$

- $\vec{F}_{cor} = 2m\vec{\omega}' \times \vec{r}$ ; como  $\vec{\omega}'$  é puramente radial em  $S'$ ,  $\vec{F}_{cor}$  tem a direção de  $\vec{\phi}'$ , com componente  $-2mr\ddot{\phi}'$

- $m\ddot{\vec{r}}'$  pode ter escrito na forma do cap. 1 - mas em  $t = t_0$ ,  $\dot{\phi}' = 0$ , e os termos que o contém são nulos. Logo, em  $S'$  (e  $t = t_0$ ),

$$\vec{F}_{cf} + \vec{F}_{cor} = m\ddot{\vec{r}}' \Leftrightarrow \begin{cases} F_r + mr\ddot{r}^2 = m\ddot{r} \\ F_\phi - 2mr\ddot{r}\dot{\phi} = mr\ddot{\phi} \end{cases}$$

(como  $\vec{r}$  é constante,  $\dot{\phi}' = \ddot{\phi}$ ),

que são exatamente as eqs. obtidas no referencial inercial ( $\vec{r} = \vec{\phi}$ ), com os termos adicionais agora posto do lado esquerdo.

Resultado:

- no referencial inercial, as forças são + simples, mas as aceleraçãoes + complicadas;
- no referencial có-movente, a complicação muda de lugar

A escolhido referencial é, pois, uma questão de conveniência. Em particular,

III  
quando o observador está fixo num referencial girante (como nós!) é, em geral, + conveniente trabalhar no referencial girante e aprender a conviver com as forças inerciais (fictícias) centrífuga e de Coriolis.